

九州大学工学部 正・海田輝之 楠田哲也 齋藤陽一  
久保田鉄工 正・石原達弘 九大大学院 学二段了

1はじめに 河口部での底泥の堆積による河口閉塞や航路の浅化の予測、あるいは感潮河川部での水質の保全を計るためには、水流の変動に伴う底泥の挙動を明らかにする事が必要不可欠である。しかしながら掃流力が場所的、時間的に変動する場合での底泥の挙動はかなり複雑であり未知の部分が多く残されている。本研究は感潮河川における底泥の挙動を予測するための第一歩として、周期的掃流場における底泥の巻き上げ及び沈降実験から得られた知見をもとに、モデル感潮部を設定し底泥の挙動をシミュレートし、検討したものである。

## 2 周期的掃流場における底泥の巻き上げと沈降に関する実験

流速を周期12時間の正弦関数の絶対値に従って変動させ、最大掃流力を  $0.2 \text{ m/s}$  とした場合の掃流力(以下で)とSSとの関係を図-1に示す。実験は円形回転水路で行ない、試料としては筑後川河口で採取した底泥を用いた。SSは図上で左回りのループを描くように時間的に変動する。一周期内でのSSの変動は①巻き上げ、②比較的大きな粒子の分散した状態での沈降、③凝聚沈降の三つに支配されてくる。周期回数が増加すれば比較的大きな粒子は巻き上げられなくなるため②の分散沈降はさほどSSの減少に影響を及ぼさない。一方で、これはSSの変動を図-2に示したように簡単にモデル化した。既ち、 $\tau$ が増加し巻き上げの限界掃流力を越えると巻き上げが起り、最大掃流力を  $\tau_{\max}$  までSSは直線的に増加する。その後では  $\tau_{\max}$  を過ぎると巻き上げ、沈降ともに越えらずSSは一定となる。さらにこれが全沈降限界掃流力を  $\tau_{cd}$  より小さくなると凝聚沈降が生じてSSは直線的に減少する。これを周期的に繰り返す。このモデルに基づき  $\tau_{\max}$  が異なる数種の実験結果から沈降フラックス  $F_d$  と巻き上げフラックス  $F_u$  を各々  $\tau_{\max}$  及びSSの関数として求めたのが図-3, 4である。これらの関係を用いて以下のシミュレーションを行った。

## 3 感潮河川における底泥の挙動に関するシミュレーション

シミュレーションの対象として、川幅が一定( $750 \text{ m}$ )で矩形断面を有する長さ  $12 \text{ km}$  の河川を考えた。計算手法としては将来の実水域への適用を考慮し、空間方向には節点数125(河幅方向に5節点)の三節点三角要素で一次多項式による有限要素法を、時間方向には逐次時間積分法を用いた。河口から上流方向に軸をとる。基礎式は連続式、運動方程式、拡散方程式等々

$$\begin{aligned} \frac{\partial H}{\partial t} + \frac{\partial}{\partial x}(UH) + \frac{\partial}{\partial y}(VH) &= 0 \\ \frac{\partial U}{\partial t} + U \frac{\partial U}{\partial x} + V \frac{\partial U}{\partial y} + g \frac{\partial H}{\partial x} + gS + \frac{\tau_{ex}}{\rho H} &= 0 \\ \frac{\partial V}{\partial t} + U \frac{\partial V}{\partial x} + V \frac{\partial V}{\partial y} + g \frac{\partial H}{\partial y} + \frac{\tau_{ey}}{\rho H} &= 0 \\ H \left( \frac{\partial C}{\partial t} + U \frac{\partial C}{\partial x} + V \frac{\partial C}{\partial y} \right) - \frac{\partial}{\partial x} \left( H D_x \frac{\partial C}{\partial x} \right) - \frac{\partial}{\partial y} \left( H D_y \frac{\partial C}{\partial y} \right) - F_d = 0 \end{aligned}$$

$$\begin{aligned} & \quad \text{ここで, } H: \text{水深, } U, V: \text{水深方向に平均した流速} \\ & S: \text{河床勾配} \left( \frac{z_0}{2600} \right), \tau_{ex}, \tau_{ey}: \text{底面摩擦力} \\ & \cdot \tau_{ex} = \rho g \sqrt{u^2 + v^2} / C_f, \tau_{ey} = \rho g \sqrt{u^2 + v^2} / C_f, \\ & C_f: \text{Chezyの粗度係数} (40.4 \text{ とした}) \\ & F_d: \text{巻き上げ及び沈降フラックス} \end{aligned}$$

である。境界条件としては、下流端では水深を周期12時間の余弦関数に従って変動するとして、 $H(m) = 0.5 \left( \frac{2\pi t}{12 \times 60 \times 60} \right) + 2$ とした。また濃度勾配を0とした。上流端では水深は常に一定で  $0.15 \text{ m}$  とし、濃度勾配は0とした。河岸では河岸に鉛直方向の流速及び濃度フラックスを0とした。初期条件として、水深については満潮時の上下流端の水深が

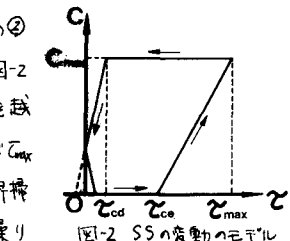
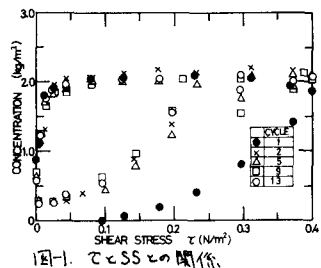


図-2 SSの変動のモデル

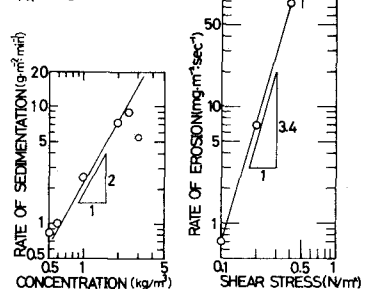


図-3 SSとCとの関係

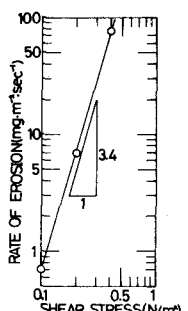


図-4 τmaxとEの関係

3次元内挿により全水域の水深を与えた。流速は水濃度は全水域で0とし、底泥堆積量は全域で  $1 \text{ kg/m}^2$  とした。また、 $F_d = 173.2 \times 10^{-6} T_{max}^{2.4} (\text{kg m}^2 \text{s}^{-1})$

$$F_d = 1.33 \times 10^{-2} C^2 / H \quad ( \text{ " } ) \text{とした。}$$

計算は時間ステップ30秒で、流速と水位につきては Shift-time法を用いた。計算途中で、底泥堆積量あるいはSSが0になるとFe, Fdを各々0としてTc, Tcdは各々 0.05, 0.025  $\text{N/m}^2$  と1とした。図-5, 6は水位及び流速の変動を示す。図中の数字は河口からの距離を示し、河幅方向への変化はほとんどなかった。水位、流速共に下げ潮時の変動の方が上げ潮時よりも大きかであり、上流側になるとビーグーに下る時刻が遅れ、潮流の影響する期間も短くなり、最大流速も小さくなつた。また流速が0になると時刻は干潮時には水位より30~60分遅れ、満潮時には若干速くなつた。以上から河口感潮部における同期的流れの場がよく表現されていることがわかる。図-7, 8はSS及び底泥堆積量M<sub>b</sub>の変動を示す。

全体的には流速の変動に伴う底泥は巻き上げ、沈降を繰り返し12時間と一周期としてSSが変動してなるべく理解される。また、巻き上げ開始時刻は上げ潮時は上流部への潮汐の伝播がせまり遅れるため、最上流部は河口部より6時間程度遅れてくる。下げ潮時には上下流域での潮汐の時間遅れが小さくため、ほぼ同時に巻き上げが開始される。同様に沈降開始時刻は、下げ潮後半では下流の方が速く、上げ潮の後半では時間遅れはほとんどない。底泥堆積量については、底泥の供給量を制限し、FeをT<sub>max</sub>の関数として下しため、下流部ではC<sub>max</sub>が大きくなると巻き上げは急激に生じ、短時間で供給量がなくなり巻き上げは停止してしまうが、上流部ではC<sub>max</sub>が小さく緩やかに巻き上げが長時間継続する。また、9, 11 km地点に底泥供給量がある傾向が見られる。これは本計算では

下げ潮時に上流端からSSの供給があり、但し流速時に沈降するSSが存在するときにようが、巻き上げ及び沈降の限界排水能力に差が存在するにて、上流部は底泥が小川ためて考えらる。以上より、定性的には本モデルは感潮河川での底泥の運動を良く表現していると考えられる。

4. おわりに 本研究ではモデル感潮部での底泥堆積量、SSに関するミニュレーションを行つたところの運動について定性的知見を得た。しかししながら、沈降及び巻き上げフラックスの考え方、上下流域でのSSにつきての境界条件、塩分濃度の変動に伴う凝集沈降特性の変化等につきて今後検討が必要である。さらには実水域への適用、実測データとの照合等により、モデルをさらに精緻なものにしていく。なお本研究は文部省科研費(一般研究)の補助を受けた。=謝意を表す。

(参考文献) ① 藤田、海田、栗原、石原、「底泥の巻き上げと沈降に関する基礎的研究(IV)」第18回衛生工学研究討論会、1982.1 pp152~157

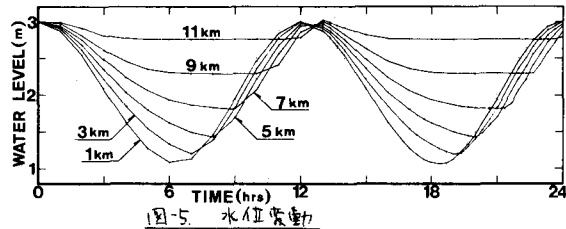


図-5 水位変動

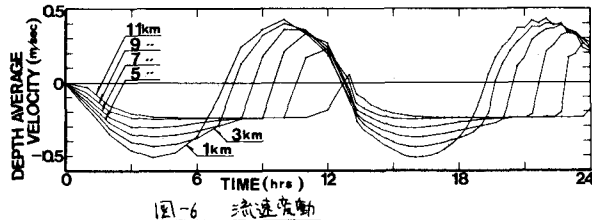


図-6 流速変動

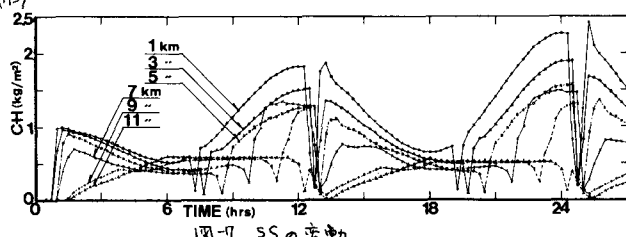


図-7 SSの変動

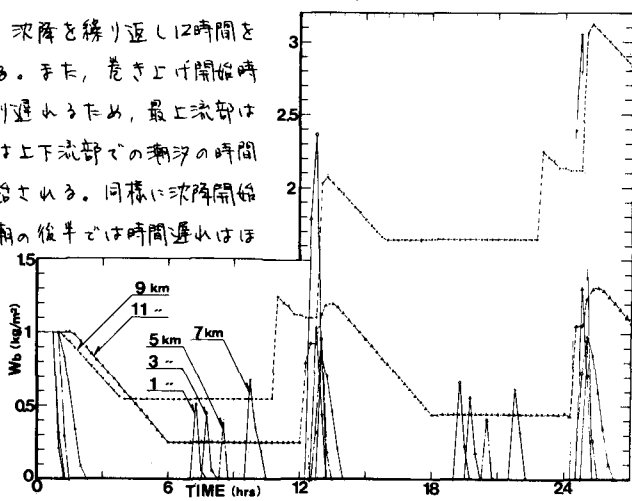


図-8 底泥堆積量の変動